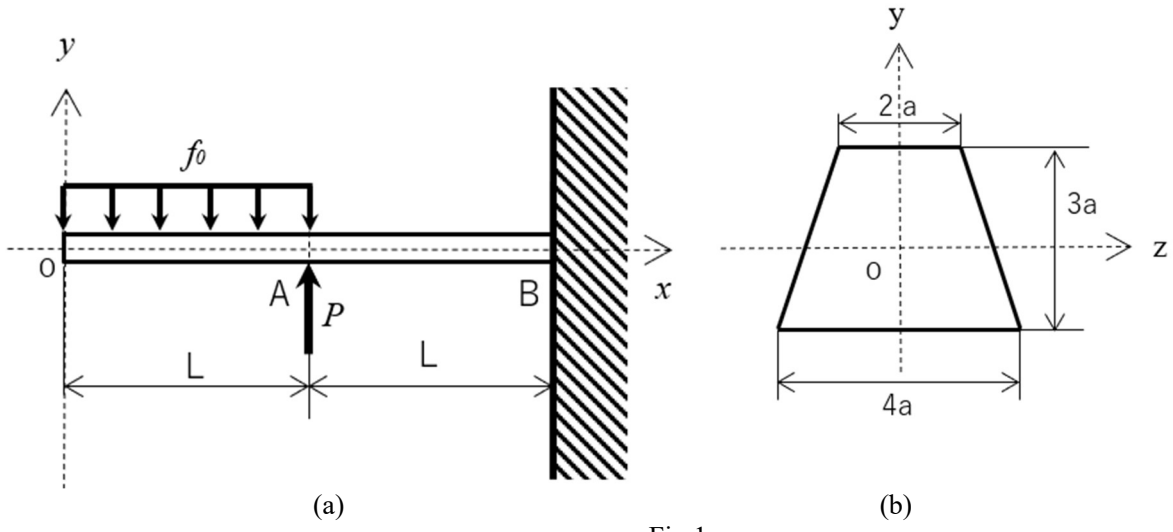


## 材料の力学1 第11回演習問題 (2024/7/1 実施)

[1] 図1(a)に示すようにはりに分布荷重 $f_0$ と集中荷重 $P$ が作用している。はりの断面形状は図1(b)のように台形状になっている。また $yz$ 軸の交点は断面の図心を通る。このとき以下の問い合わせに答えよ。



- (1) このはりの図心を通る $z$ 軸に関する断面2次モーメント $I_z$ を求めよ。
- (2) はり全体のFBDを描き、壁から受ける反力 $R_B$ と反モーメント $M_B$ を求めよ。
- (3) 位置 $x$ の仮想断面において、はりに作用するせん断力 $Q(x)$ 及び曲げモーメント $M(x)$ を求めよ。

分布荷重と集中荷重は $P = 2f_0L$ の関係にあるとする。

- (4), (5)については $P$ を用いず $f_0$ を用いて答えよ。

- (4) せん断力の $x$ 方向変化の図(せん断力線図:SFD)と曲げモーメントの $x$ 方向変化の図(曲げモーメント線図:BMD)を書け。
- (5) 最大曲げモーメントを求めよ。

(1) このはりの  $z$  軸に関する断面 2 次モーメント  $I_z$  を求めよ.

$z$  軸に関する断面 2 次モーメント  $I_z$  は図 1.1 のように四角形と三角形に分けて考える.

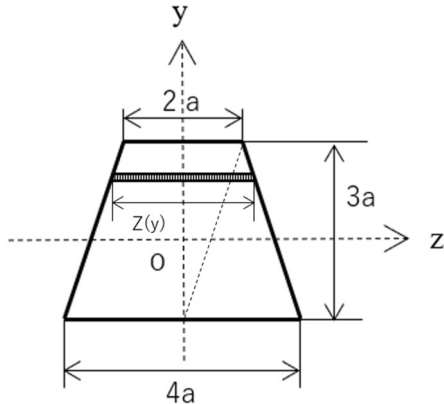


Fig. 1.1 はりの断面図

図心を決定するため、断面一次モーメントを算出する。図 1.2 に示すように  $z$  軸に平行に台形の底辺と一致するように  $z'$  軸をとる。

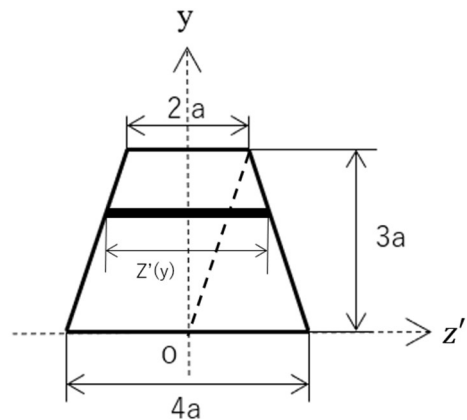


Fig. 1.2 はりの断面図( $z'$  軸)

とある  $y$  において  $Z'$  は

$$Z'(y) = 2a + 2a \cdot \frac{3a - y}{3a} = 4a - \frac{2}{3}y \quad (1.1)$$

と示される。また微小面積  $dA$  は

$$dA = Z'(y)dy \quad (1.2)$$

である。

断面一次モーメントは

$$S_z = \int_A y dA = \int_0^{3a} y \left( 4a - \frac{2}{3}y \right) dy = 12a^3 \quad (1.3)$$

となる。図心 $y_c$ は断面一次モーメントと台形全体の面積 $A$ を用い、

$$y_c = \frac{S_z}{A} = \frac{12a^3}{(2a + 4a) \cdot \frac{3a}{2}} = \frac{4}{3}a \quad (1.4)$$

のように示される。

続いてとある  $y$  において  $Z$  は

$$Z(y) = 2a + 2a \cdot \frac{\frac{5}{3}a - y}{3a} = \frac{28}{9}a - \frac{2}{3}y \quad (1.5)$$

と示される。よって図心回りの断面二次モーメントは以下のようになる。

$$I_z = \int_A y^2 dA = \int_{-\frac{4}{3}a}^{\frac{5}{3}a} y^2 \left( \frac{28}{9}a - \frac{2}{3}y \right) dy = \frac{13}{2}a^4 \quad (1.6)$$

(補足 1)

$z'$  軸の断面二次モーメントから平行軸の定理を用いても同様の結果が得られる。

$z'$  軸の断面二次モーメントは

$$I_{z'} = \int_A y^2 dA = \int_0^{3a} y^2 \left( 4a - \frac{2}{3}y \right) dy = \frac{45}{2}a^4 \quad (1.7)$$

である。平行軸の定理は、図心から離れた点の断面二次モーメントを  $I_{z'}$ 、図心の断面二次モーメントを  $I_z$ 、図心との距離を  $\alpha$ 、はりの断面積を  $A$  とすると

$$I_{z'} = I_z + \alpha^2 A \quad (1.8)$$

となる. よって

$$I_z = I_{z'} - \alpha^2 A = \frac{45}{2}a^4 - \left(\frac{4}{3}a\right)^2 \cdot \frac{1}{2}(4a + 2a) \cdot 3a = \frac{13}{2}a^4 \quad (1.9)$$

である.

(補足 2)

台形の断面二次モーメントは, 台形が四角形と三角形で構成されること, 平行軸の定理より求めることもできる. 図 1.1 における四角形の図心の y 座標は  $a/6$ , 三角形の図心の y 座標は  $-a/3$  である. よって平行軸の定理より

$$I_{z \text{ 四角}} = \frac{2a(3a)^3}{12} + \left(\frac{a}{6}\right)^2 \cdot 2a \cdot 3a \quad (1.10)$$

$$I_{z \text{ 三角}} = \frac{2a(3a)^3}{36} + \left(-\frac{a}{3}\right)^2 \cdot \frac{2a \cdot 3a}{2} \quad (1.11)$$

$$I_z = I_{z \text{ 四角}} + I_{z \text{ 三角}} = \frac{13}{2}a^4 \quad (1.12)$$

となる.

(2) はり全体のFBDを描き, 壁から受ける反力  $R_B$  と反モーメント  $M_B$  を求めよ.

はり全体の FBD を図 1.3 に示す.

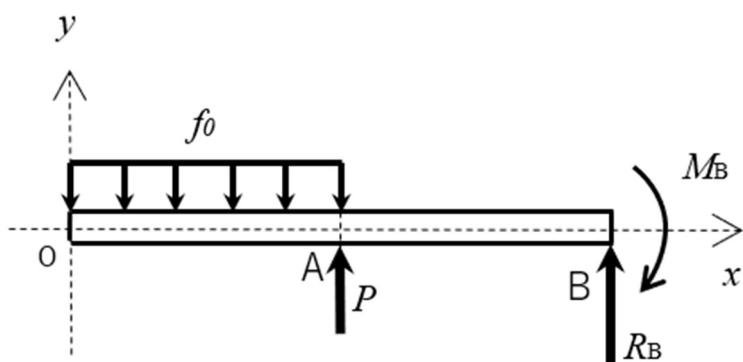


Fig. 1.3 はり全体の FBD

つり合い式より,

$$-\int_0^L f_0 dx' + P + R_B = 0 \quad (1.13)$$

$$R_B = -P + f_0 L$$

O 点まわりのモーメントのつり合い式より,

$$-\int_0^L f_0 x' dx' + PL + 2R_B L - M_B = 0 \quad (1.14)$$

$$M_B = -PL + \frac{3}{2} f_0 L^2$$

(3) 位置  $x$  の仮想断面において, はりに作用するせん断力  $Q(x)$  及び曲げモーメント  $M(x)$  を求めよ.

(i)  $0 \leq x < L$  のとき

はりの FBD を図 1.4 に示す.

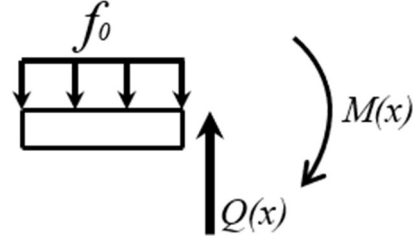


Fig. 1.4 はりの FBD( $0 \leq x < L$ )

力のつり合い式より,

$$Q(x) - \int_0^x f_0 dx' = 0 \quad (1.15)$$

$$Q(x) = f_0 x$$

O 点まわりのモーメントのつり合い式より,

$$-M(x) + Q(x) \cdot x - \int_0^x f_0 x' dx' = 0 \quad (1.16)$$

$$M(x) = \frac{1}{2} f_0 x^2$$

(ii)  $L < x \leq 2L$  のとき

はりの FBD を図 1.5 に示す.

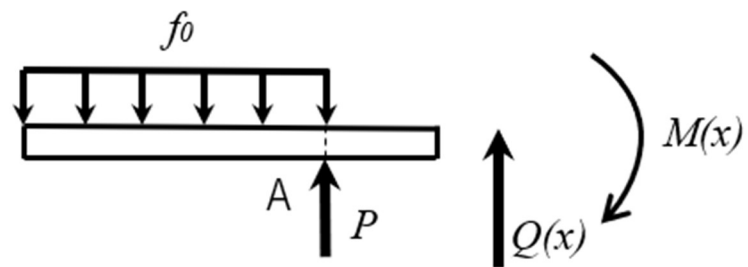


Fig. 1.5 はりの FBD( $L < x \leq 2L$ )

力のつり合い式より,

$$Q(x) + P - \int_0^L f_0 dx' = 0 \quad (1.17)$$

$$Q(x) = -P + f_0 L$$

O 点まわりのモーメントのつり合い式より,

$$-M(x) + Q(x) \cdot x + PL - \int_0^L f_0 x' dx' = 0 \quad (1.18)$$

$$M(x) = -P(x - L) + f_0 L x - \frac{1}{2} f_0 L^2$$

(別解)

解の重ね合わせでも同様の結果が得られる。

分布荷重によるはりの FBD を図 1.6 に示す。

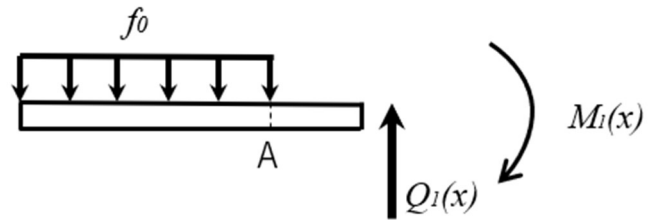


Fig. 1.6 分布荷重によるはりの FBD( $L < x \leq 2L$ )

力のつり合い式より、

$$Q_1(x) - \int_0^L f_0 dx' = 0 \quad (1.19)$$

$$Q_1(x) = f_0 L$$

O 点まわりのモーメントのつり合い式より、

$$-M_1(x) + Q_1(x) \cdot x - \int_0^L f_0 x' dx' = 0 \quad (1.20)$$

$$M_1(x) = f_0 L x - \frac{1}{2} f_0 L^2$$

集中荷重によるはりの FBD を図 1.7 に示す

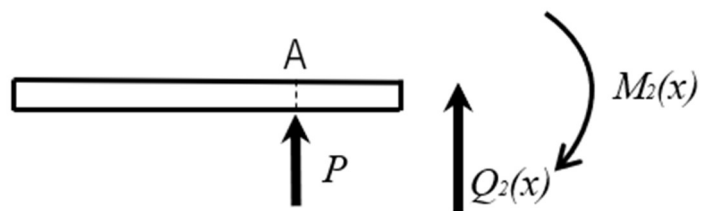


Fig. 1.7 集中荷重によるはりの FBD( $L < x \leq 2L$ )

力のつり合い式より,

$$\begin{aligned} Q_2(x) + P &= 0 \\ Q_2(x) &= -P \end{aligned} \tag{1.21}$$

O 点まわりのモーメントのつり合い式より,

$$\begin{aligned} -M_2(x) + Q_2(x) \cdot x + PL &= 0 \\ M_2(x) &= -P(x - L) \end{aligned} \tag{1.22}$$

よって重ね合わせより  $L < x \leq 2L$ において曲げモーメントは

$$M(x) = M_1(x) + M_2(x) = -P(x - L) + f_0 L x - \frac{1}{2} f_0 L^2 \tag{1.23}$$

(4) せん断力の  $x$  方向変化の図(せん断力線図:SFD)と曲げモーメントの  $x$  方向変化の図(曲げモーメント線図:BMD)を書け.

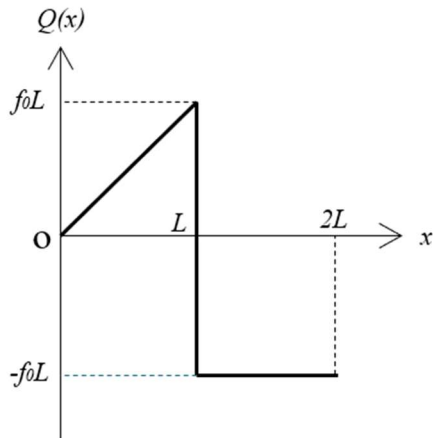


Fig. 1.8 SFD

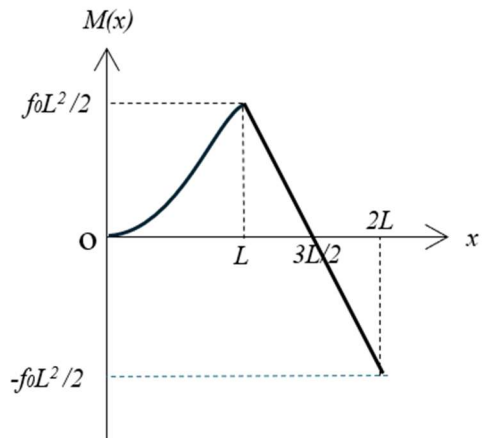


Fig. 1.9 BMD

(5) 最大曲げ応力  $\sigma_{max}$  の大きさを求めよ.

(4)より最大曲げモーメントは点 A において

$$M_A = \frac{1}{2} f_0 L^2 \tag{1.24}$$

(補足) 最大曲げ応力は図心から最も離れた点,  $y = \frac{5}{3}a$  に生じるので,

$$\sigma_{Amax} = \left| \frac{\frac{1}{2}f_0L^2}{\frac{13}{2}a^4} \left( \frac{5}{3}a \right) \right| = \frac{5}{39} \frac{f_0L^2}{a^3} \quad (1.25)$$

[2] 図 2.1 のように左端を壁に固定された長さ  $2l$  のはりがある。はりの中央部 A 点に剛体レバーが取り付けられ、上向きの分布荷重  $f_0$  が作用しており、はりの右端部分 B 点では下向きの荷重  $P$  が作用している。はりの断面形状は図 2.2 のような正六角形になっている。はりの左端部分 O 点の反力を  $R_O$ 、反モーメントを  $M_O$  として、以下の各設問に解答せよ。

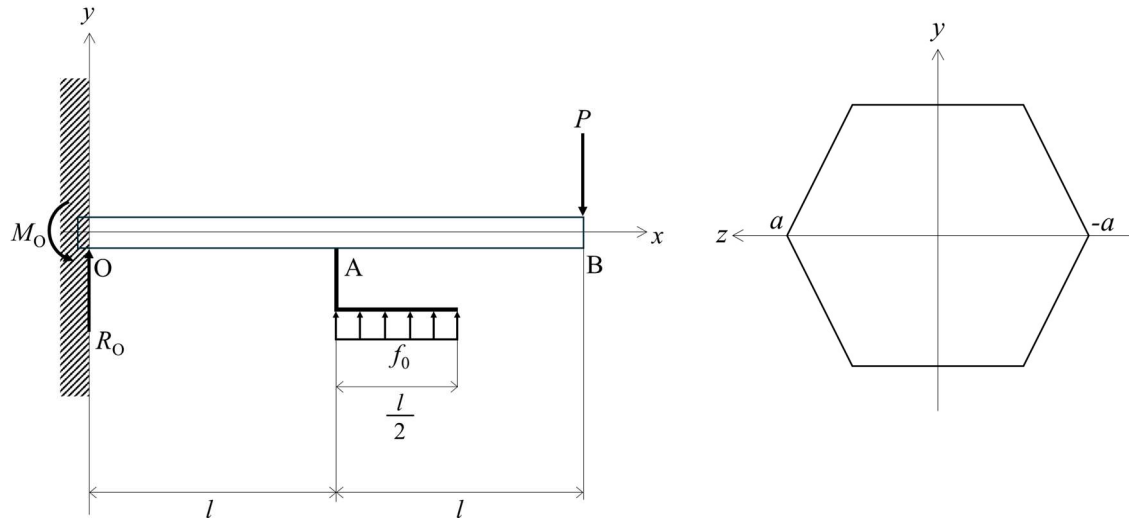


Fig. 2.1 剛体レバーのついたはり

Fig. 2.2 はりの断面形状

- (1) はりの  $z$  軸に関する断面二次モーメント  $I_z$  求めよ。
- (2) 剛体レバーの FBD を描き、A 点での反力  $R_A$ 、反モーメント  $M_A$  を求めよ。
- (3) はり全体の FBD を描き、壁が受ける反力  $R_O$ 、反モーメント  $M_O$  を求めよ。ただし、A 点で生じる力と反モーメントを考慮せよ。

以下の問題では、 $P = \frac{f_0 l}{4}$  として、 $f_0$  のみを用いて答えよ。

- (4) はりに生じるせん断力  $Q(x)$  と曲げモーメント  $M(x)$  を求め、それぞれの  $x$  方向変化を図示せよ。
- (5) はりの曲げモーメントが最大となる最大曲げ応力  $\sigma_{max}$  を求めよ。

(1) はりの  $z$  軸に関する断面二次モーメント  $I_z$  を求めよ.

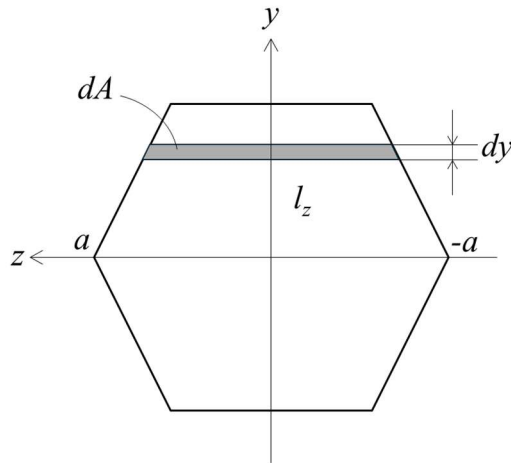


Fig. 2.3 はりの断面形状

図 2.3において、長さ  $l_z$  は以下のように表される.

$$l_z = -\frac{2}{\sqrt{3}}y + 2a \quad (2.1)$$

微小面積  $dA$  は長方形と近似できるため、

$$dA = \left( -\frac{2}{\sqrt{3}}y + 2a \right) dy \quad (2.2)$$

と表される.

したがって、 $z$  軸まわりの断面二次モーメントは

$$I_z = \int_A y^2 dA = 2 \int_0^{\frac{\sqrt{3}}{2}a} \left( -\frac{2}{\sqrt{3}}y + 2a \right) y^2 dy = \frac{5\sqrt{3}}{16}a^4 \quad (2.3)$$

(2) 剛体レバーの FBD を描き、A 点での反力  $R_A$ 、反モーメント  $M_A$  を求めよ.

図 2.4 に剛体レバーの FBD を示す.

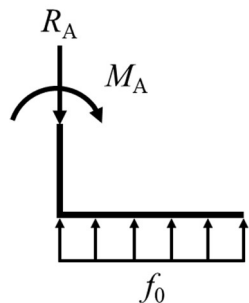


Fig. 2.4 剛体レバーの FBD

力のつり合い式より

$$\frac{f_0 l}{2} - R_A = 0 \quad (2.4)$$

$$R_A = \frac{f_0 l}{2} \quad (2.5)$$

A 点まわりのモーメントのつり合い式より

$$\int_0^{\frac{l}{2}} f_0 x dx - M_A = 0 \quad (2.6)$$

$$M_A = \frac{f_0 l^2}{8} \quad (2.7)$$

(3) はり全体の FBD を描き、壁が受ける反力  $R_O$ 、反モーメント  $M_O$  を求めよ。ただし、A 点で生じる力と反モーメントを考慮せよ。

図 2.5 にはり全体の FBD を示す。

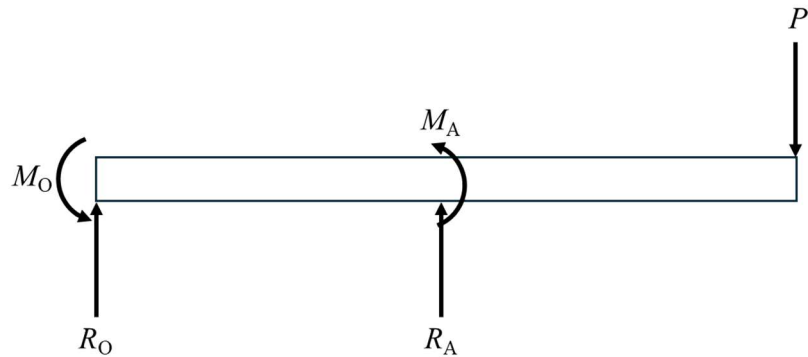


Fig. 2.5 はり全体の FBD

力のつり合い式より

$$R_O + R_A - P = 0 \quad (2.8)$$

$$R_O = P - \frac{f_0 l}{2} \quad (2.9)$$

O 点まわりのモーメントのつり合い式より

$$M_O + M_A + R_A \times l - P \times 2l = 0 \quad (2.10)$$

$$M_O = 2Pl - \frac{5f_0 l^2}{8} \quad (2.11)$$

(4) はりに生じるせん断力  $Q(x)$  と曲げモーメント  $M(x)$  を求め、それぞれの  $x$  方向変化を図示せよ。

(i)  $0 \leq x \leq l$  のとき

図 2.6 に FBD を示す。

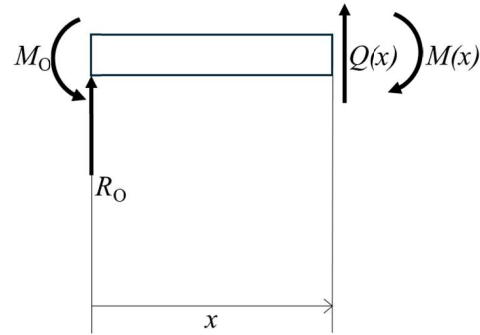


Fig. 2.6 はりの FBD ( $0 \leq x \leq l$ )

力のつり合い式より

$$R_O + Q(x) = 0 \quad (2.12)$$

$$Q(x) = -P + \frac{f_0 l}{2} = \frac{f_0 l}{4} \quad (2.13)$$

O 点まわりのモーメントのつり合い式より

$$M_O - M(x) + Q(x) \times x = 0 \quad (2.14)$$

$$M(x) = 2Pl - \frac{5f_0 l^2}{8} + \frac{f_0 l x}{4} = \frac{f_0 l x}{4} - \frac{f_0 l^2}{8} \quad (2.15)$$

(ii)  $l \leq x \leq 2l$  のとき

図 2.7 に FBD を示す。

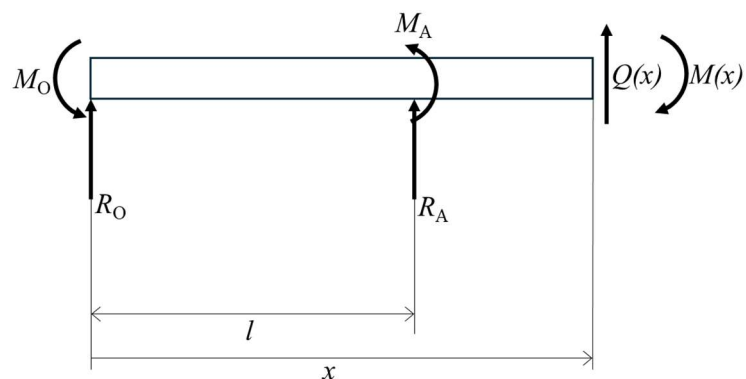


Fig. 2.6 はりの FBD ( $l \leq x \leq 2l$ )

力のつり合い式より

$$R_O + R_A + Q(x) = 0 \quad (2.16)$$

$$Q(x) = -P = -\frac{f_0 l}{4} \quad (2.17)$$

O 点まわりのモーメントのつり合い式より

$$M_O + M_A - M(x) + R_A \times l + Q(x) \times x = 0 \quad (2.18)$$

$$M(x) = 2PL - \frac{f_0 l x}{4} = -\frac{f_0 l x}{4} + \frac{f_0 l^2}{2} \quad (2.19)$$

以上より、せん断力の x 方向変化の図(SFD)と曲げモーメントの x 方向変化の図(BMD)はそれぞれ次のようになる。

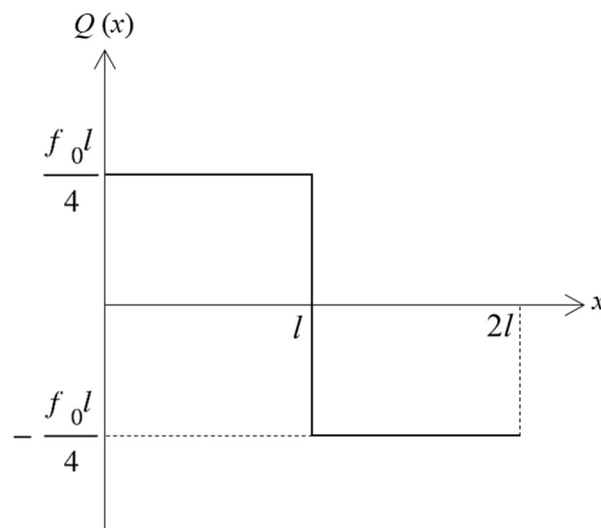


Fig. 2.7 SFD

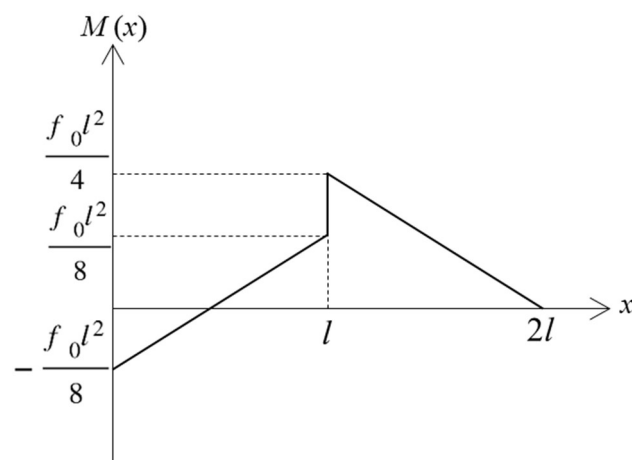


Fig. 2.8 BMD

(5) はりの曲げモーメントが最大となる最大曲げ応力  $\sigma_{max}$  を求めよ.

図 2.9 の BMD より,  $x=l$  のときに曲げモーメントは最大となり, 曲げモーメント  $M_{max}$  は以下のようになる.

$$M_{max} = \frac{f_0 l^2}{4} \quad (2.20)$$

最大曲げ応力は図心から最も離れた点,  $y = \frac{\sqrt{3}}{2}a$  に生じるので, 最大曲げ応力は以下のようになる.

$$\sigma_{max} = \left| \frac{M_{max}}{I_z} y \right| = \frac{2f_0 l^2}{5a^3} \quad (2.21)$$

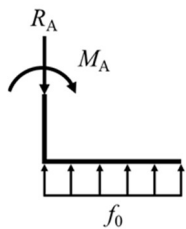
[2]

(1)

$$I_z = \frac{5\sqrt{3}}{16}a^4$$

(2)

FBD



反力

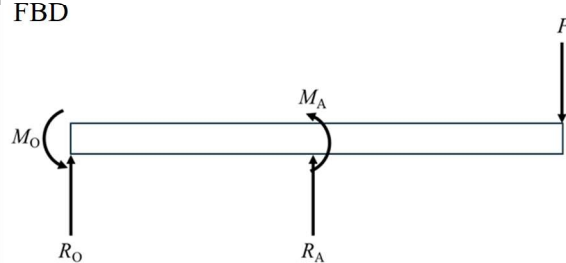
$$R_A = \frac{f_0 l}{2}$$

反モーメント

$$M_A = \frac{f_0 l^2}{8}$$

(3)

FBD



反力

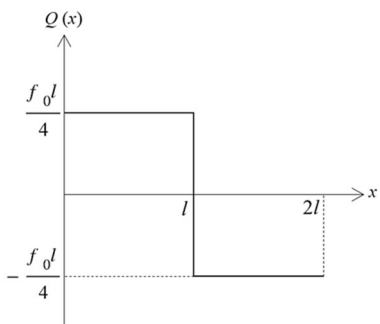
$$R_O = P - \frac{f_0 l}{2}$$

反モーメント

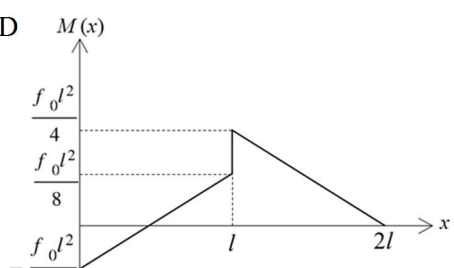
$$M_O = 2Pl - \frac{5f_0 l^2}{8}$$

(4)

SFD



BMD



(5)

$$\sigma_{max} = \frac{2f_0 l^2}{5a^3}$$

※(3)は  $M_A$ ,  $R_A$  を(2)で求めた値で表していても OK.

2024 年 7 月 1 日

材料力学 1

学籍番号：  
氏名：

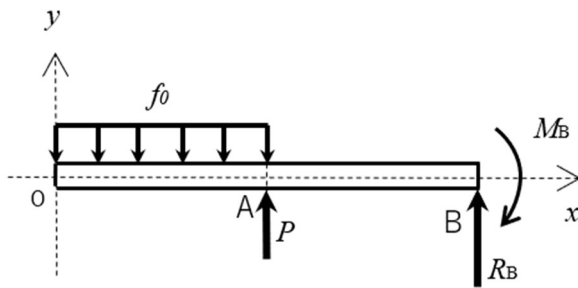
## 解答用紙(第 11 回)

[1]

(1)  $\frac{13}{2}a^4$

(2)

FBD

R<sub>B</sub>

$-P + f_0 L$

M<sub>B</sub>

$-PL + \frac{3}{2}f_0 L^2$

(3)

Q(x)

$f_0 x \quad (0 \leq x < L)$

$-P + f_0 L \quad (L < x \leq 2L)$

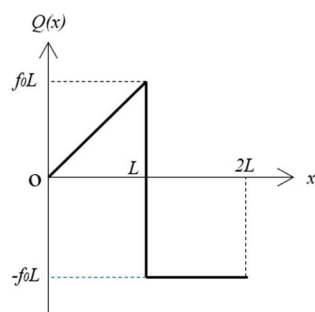
M(x)

$\frac{1}{2}f_0 x^2 \quad (0 \leq x < L)$

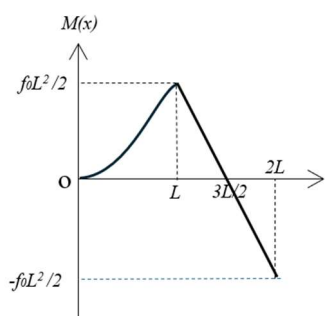
$-P(x - L) + f_0 L x - \frac{1}{2}f_0 L^2 \quad (L < x \leq 2L)$

(4)

SFD



BMD



(5)

$\frac{f_0 L^2}{2}$